



FRC M

Fiber

Reinforced

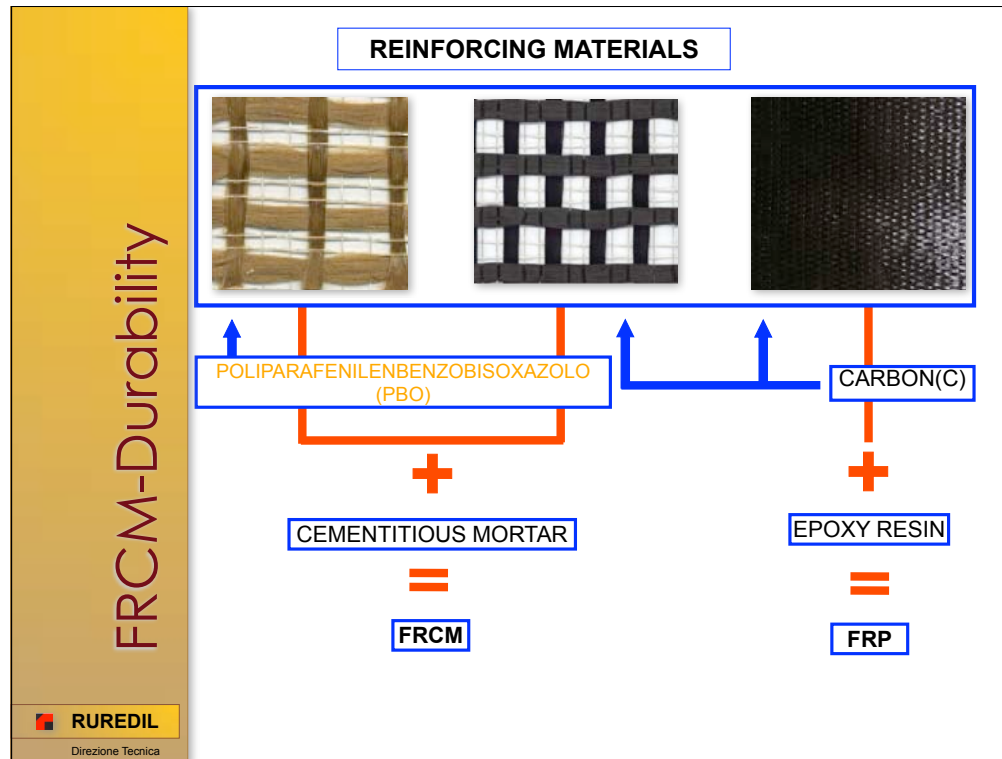
Cementitious

Matrix



RUREDIL Chemical Specialities for Emerging Technologies

Direzione Tecnica



Ruredil

Chemicals for building

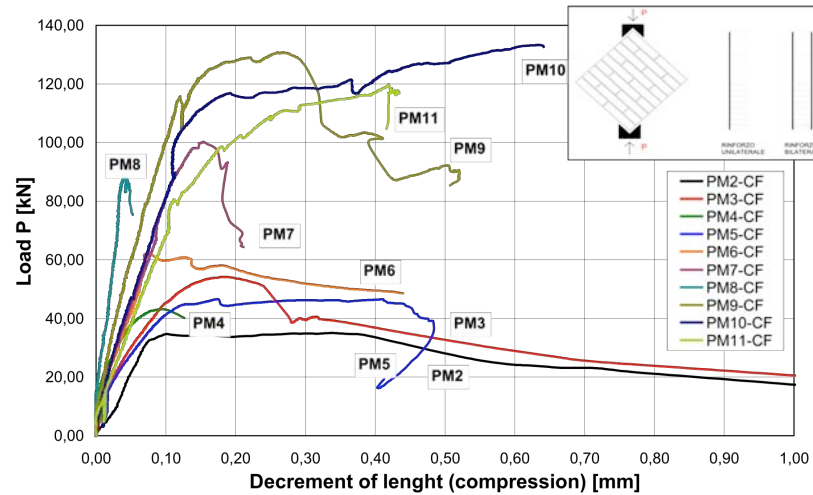
**FRCM carbon fiber mesh
with cementitious matrix
for masonry structures strengthening**

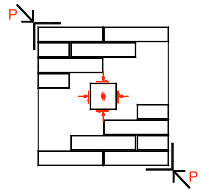
Experimental investigation on masonry walls

- control panels (PM1 and PM2)
- application of cementitious matrix on one panel side (PM3 and PM4)
- application of one FRCM layer on one panel side with carbon fibre net orientation 0°/90°, as mortar joints path (PM5 and PM6)
- application of two FRCM layers on one panel side with carbon fibre orientation 0°/90 and ±45° (PM7 and PM8)
- application of two FRCM layers on both panel sides with carbon fibre orientation 0°/90 and ±45° (PM9, PM10 and PM11).

Experimental investigation on masonry walls

Ruredil X Mesh C10 M25

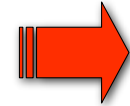


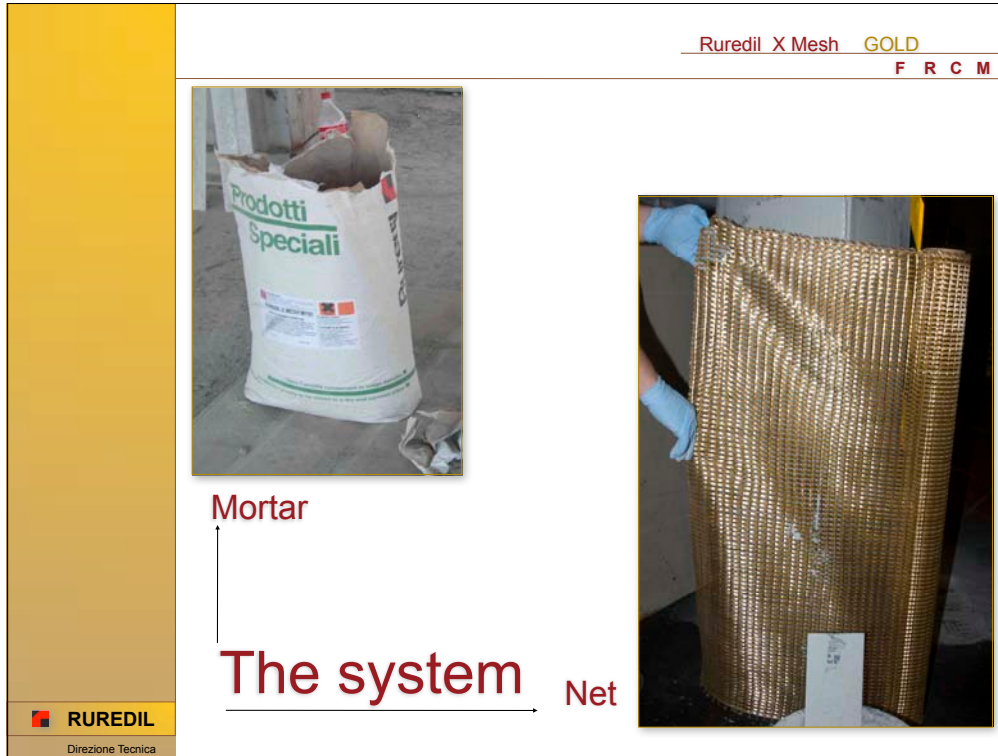


Definition of characteristic shear strength

U: one side B: both sides
M: only mortar S: one layer D: two layers

Specimen	P_{max} [N]	f_{tm} [N/mm ²]	τ_k [N/mm ²]	τ_{k0}/τ_{ki}
PM2	35×10^3	0.37	0.33	1
PM3-UM	54.2×10^3	0.57	0.52	1.55
PM4-UM	43.2×10^3	0.45	0.41	1.23
PM5-US	46.4×10^3	0.49	0.44	1.33
PM6-US	61.9×10^3	0.65	0.59	1.77
PM7-UD	100.2×10^3	1.05	0.96	2.86
PM8-UD	88.2×10^3	0.93	0.84	2.52
PM9-BD	130.7×10^3	1.37	1.25	3.79
PM10-BD	133.3×10^3	1.40	1.27	3.81
PM11-BD	119.8×10^3	1.26	1.15	3.42





Ruredil X Mesh GOLD
F R C M

Cutting



 RUREDIL

Direzione Tecnica

Application

- 1
- 2
- 3
- 4





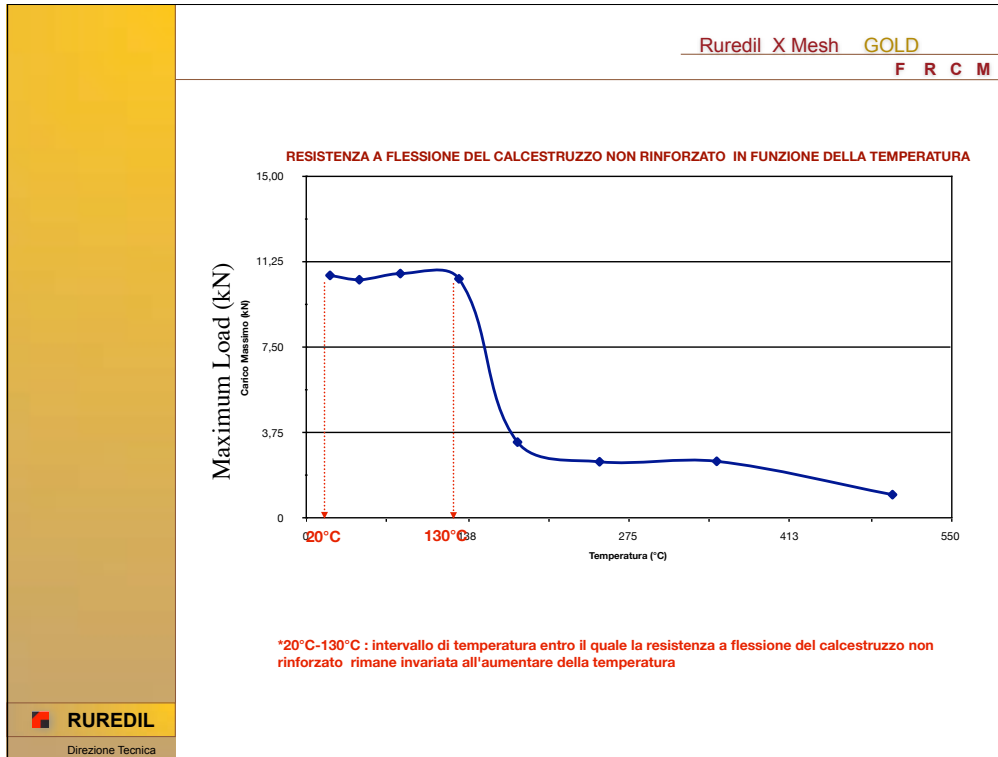
Ruredil X Mesh GOLD

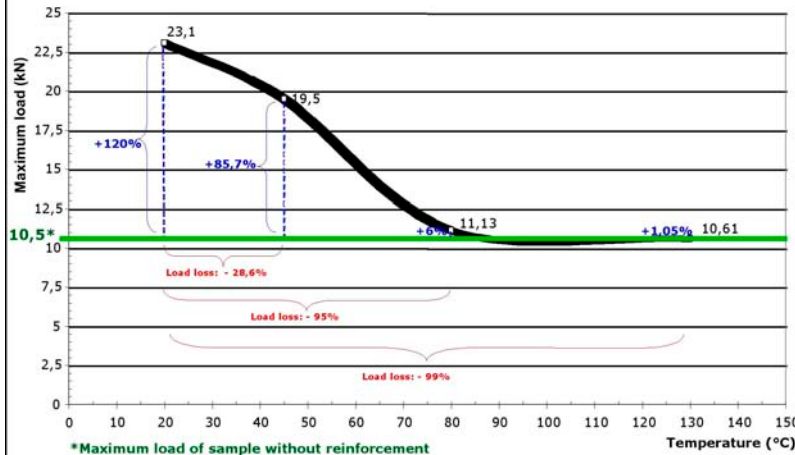
F R C M

FRP vs FRCM - Temperature behaviour

 RUREDIL

Direzione Tecnica



**C-FRP: Maximum load related to temperature
with equal time of exposure (1 h)** RUREDIL

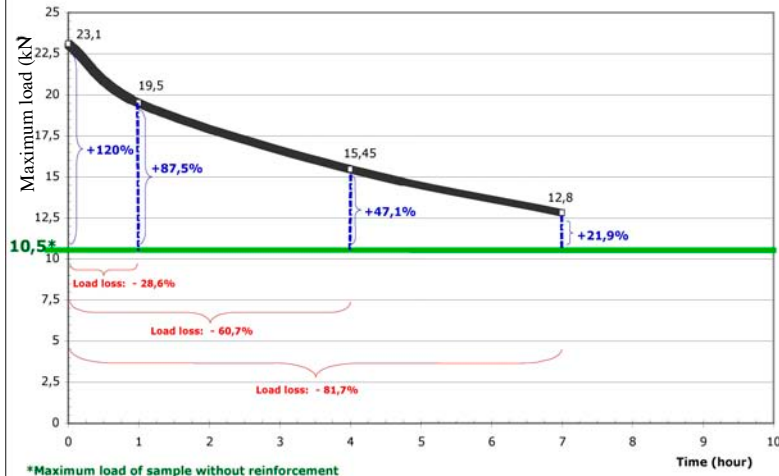
Direzione Tecnica



Ruredil X Mesh GOLD

F R C M

FRP: Maximum load related to time
with same temperature



RUREDIL

Direzione Tecnica

Temperature and moisture test

Il trattamento termico **a 80°C e 100% UR** (umidità relativa) è stato eseguito mediante camera di stagionatura a vapore, corredata di resistenze riscaldanti alettate, sensore d'umidità e temperatura e vaporizzatore con capacità di nebulizzazione pari a 0,5 litri/h.

Il test è stato eseguito **su 120 provini** in calcestruzzo delle dimensioni di 400x100x100 mm , suddivisi in 12 serie da 10 provini codauna:

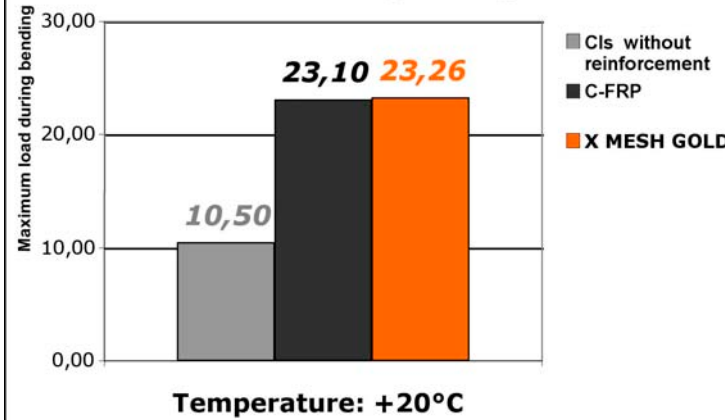
- PBO-FRCM
- (EB) C-FRP con resina Tg= 100 °C



Ruredil X Mesh GOLD

F R C M

RUREDIL X MESH GOLD vs. C-FRP: Maximum load during bending



RUREDIL

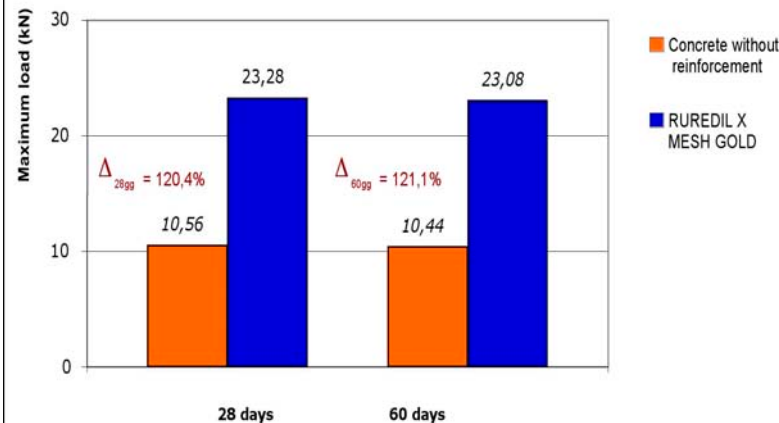
Direzione Tecnica



Ruredil X Mesh GOLD

F R C M

RUREDIL X MESH GOLD: maximum load at +80°C and 100% R. H.



RUREDIL

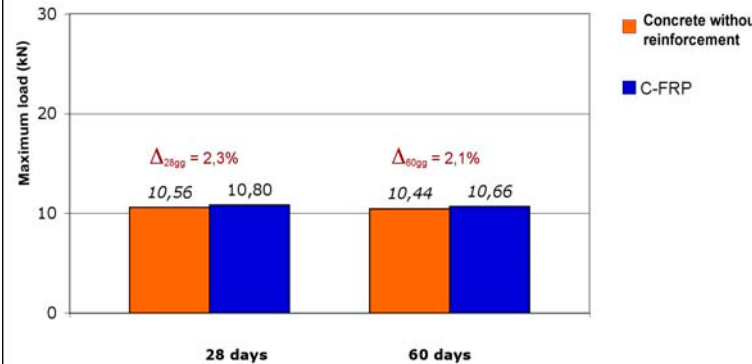
Direzione Tecnica



Ruredil X Mesh GOLD

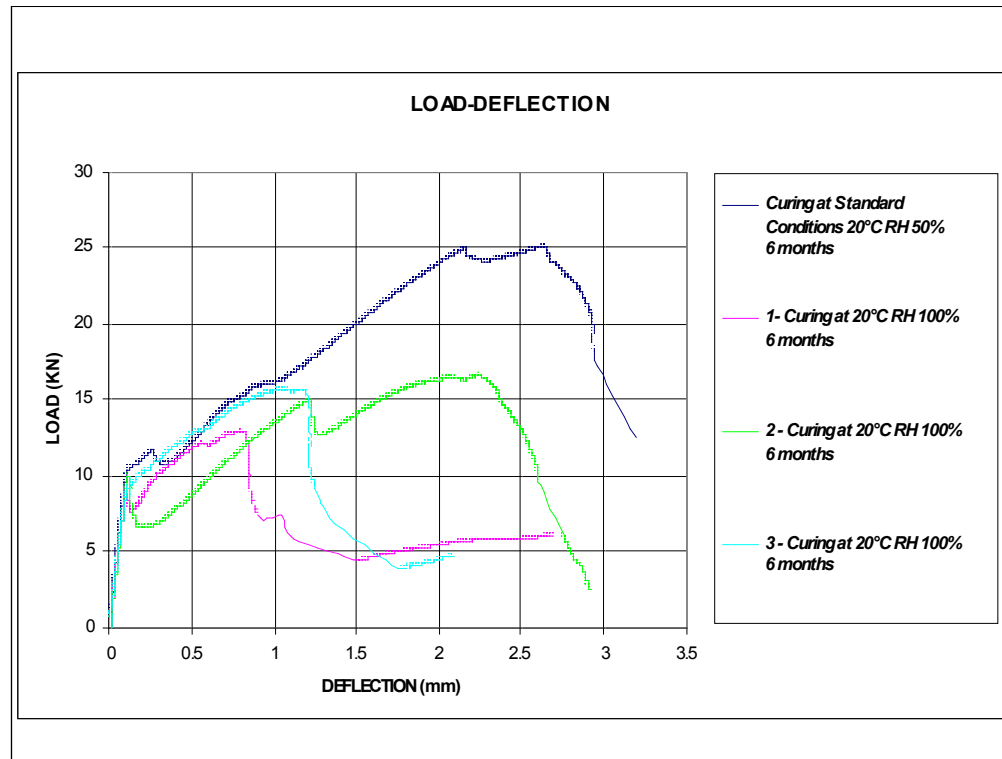
F R C M

C-FRP : maximum load at + 80 °C and 100% U.R.



RUREDIL

Direzione Tecnica



New development

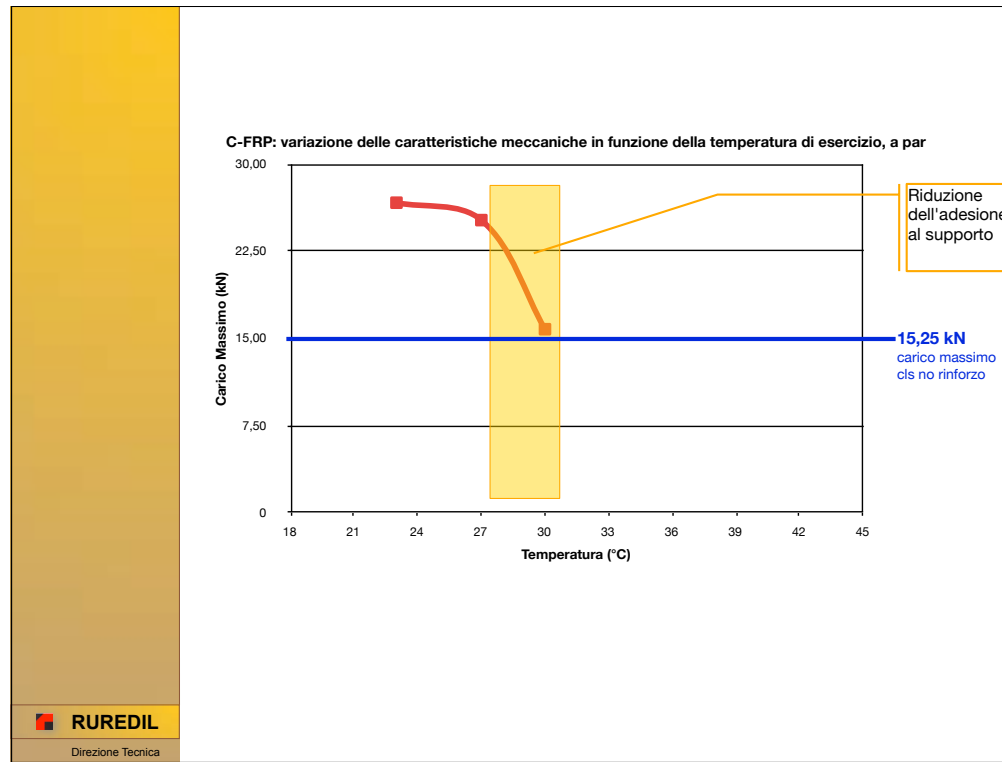
C- FRP - Flexural test at costant temperature of $30^{\circ}\text{C} \pm 1$

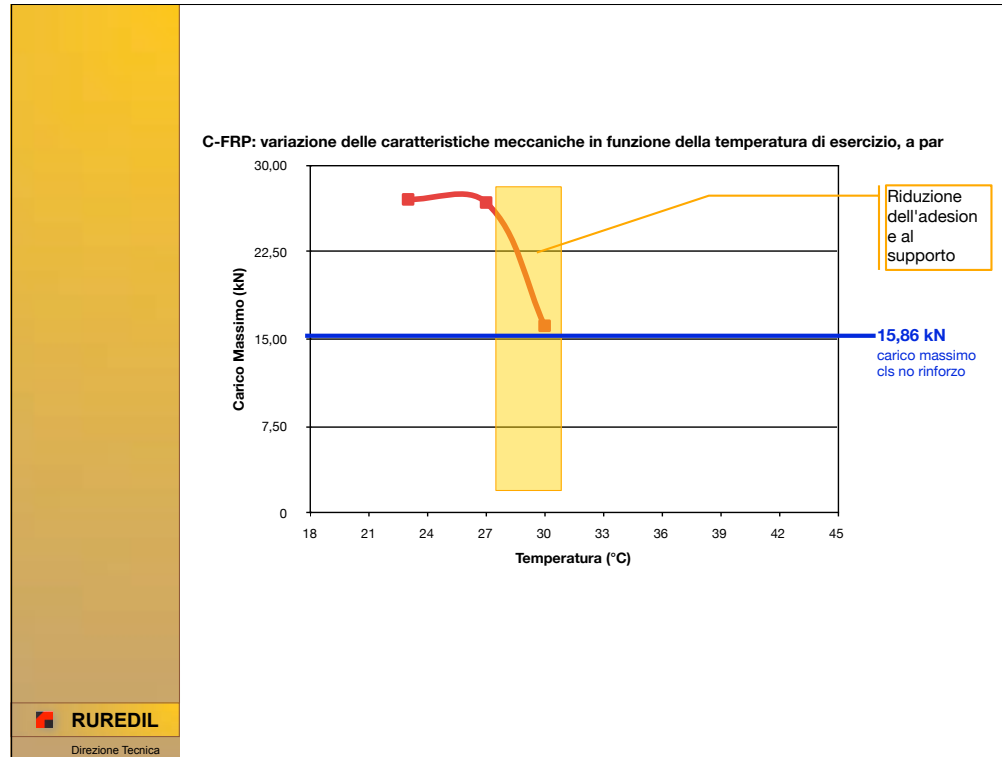
Il test riguarda 15 provini ed è stato eseguito termostatando la macchina di prova attraverso una



 RUREDIL

Direzione Tecnica



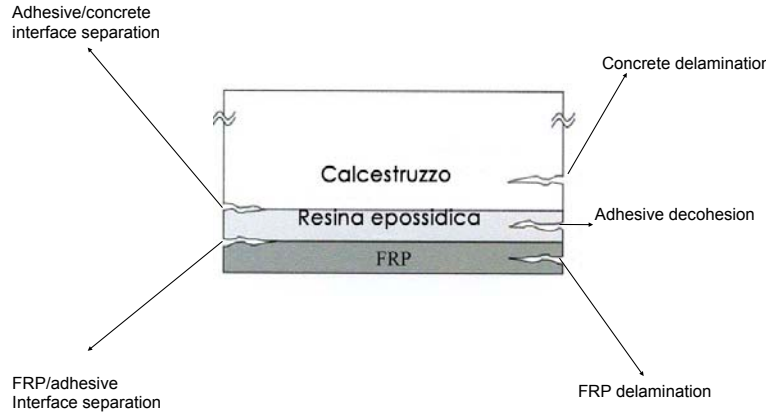


FRCM-Durabilità

RUREDIL

Direzione Tecnica

DEBONDING MODES



COHESION FRP/CONCRETE

PEELING -maximum bending moment section

design strain is the minimum value:

- characteristic rupture strain of FRP reinforcement (ε_{fu})
- maximum strain of FRP reinforcement before debonding- $\varepsilon_{f,max}$ (without environmental conditions)

$$\varepsilon_{fd} = \min \left\{ \eta_a \frac{\varepsilon_{fu}}{\gamma_f}, \eta_b \varepsilon_{f,max} \right\}$$

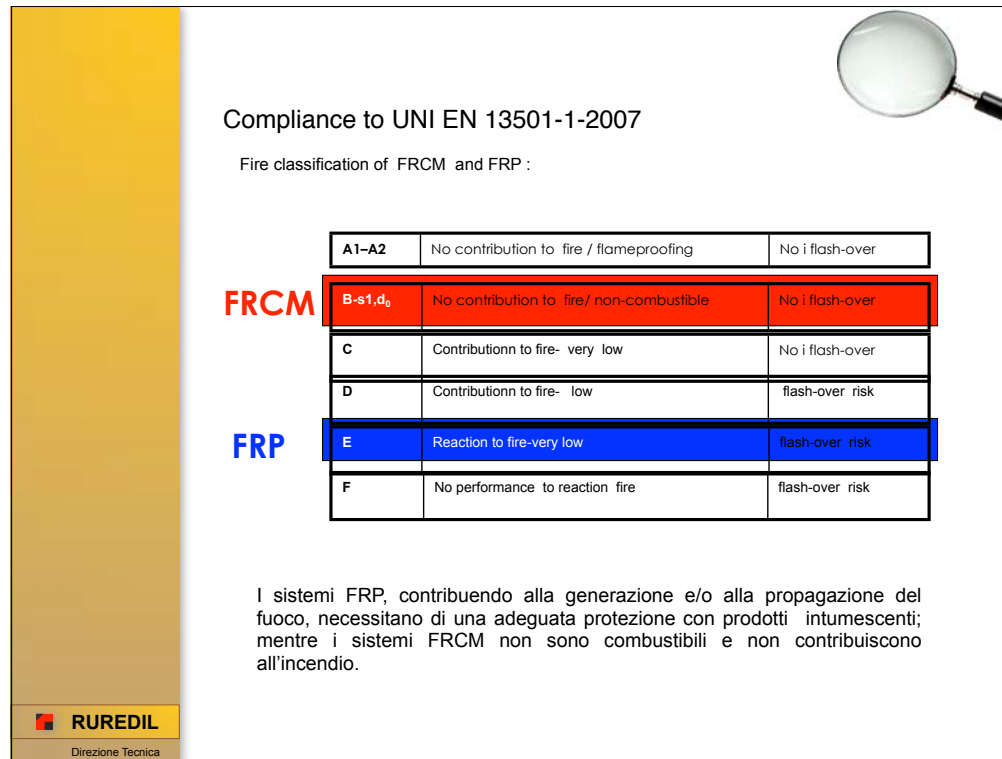
$\gamma_f = 1.2 \div 1.3$ partial factor

$\eta_a = 0.5 \div 0.95$ environmental conversion factor.

$\varepsilon_{fd} =$ maximum strain of FRP reinforcement before debonding

FRCM-Durably

RUREDIL
Direzione Tecnica



Compliance to UNI EN 13501-1-2007

Fire classification of FRCM and FRP :

A1-A2	No contribution to fire / flameproofing	No i flash-over
FRCM	B-s1,d₀	No contribution to fire/ non-combustible
	C	Contributionn to fire- very low
	D	Contributionn to fire- low
FRP	E	Reaction to fire-very low
	F	No performance to reaction fire

I sistemi FRP, contribuendo alla generazione e/o alla propagazione del fuoco, necessitano di una adeguata protezione con prodotti intumescenti; mentre i sistemi FRCM non sono combustibili e non contribuiscono all'incendio.

 **RUREDIL**
Direzione Tecnica

Research in progress

Edimburg University *Prof. Bisby*

Flexural beam test at temperature of 30- 200 °C/U.R. 50%

Near surface mounted (NSM) FRP
Externally-Bonded (EB) FRP
FRCM

CNR

1-Flexural test at 20 - 35 °C / U.R. 50%
2-Flexural test at U.R 60-100% / T. 23 °C

FRP
FRCM



Direzione Tecnica

Ruredil X Mesh C10



Work in progress
2008 - 2009

Referenze - Estero

Hilandar Monastery - XII secolo

Monte Athos - Grecia

Rinforzo strutturale di circa 4000 m²

Direzione Tecnica

Ruredil



Ruredil X Mesh C10



Ruredil X Mesh C10

Direzione Tecnica



Hilandar Monastery - XII secolo

I dipinti



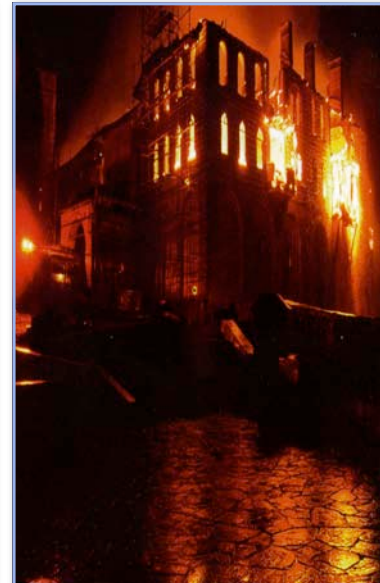
Ruredil X Mesh C10

Direzione Tecnica



Hilandar Monastery - XII secolo

L'incendio del 2004



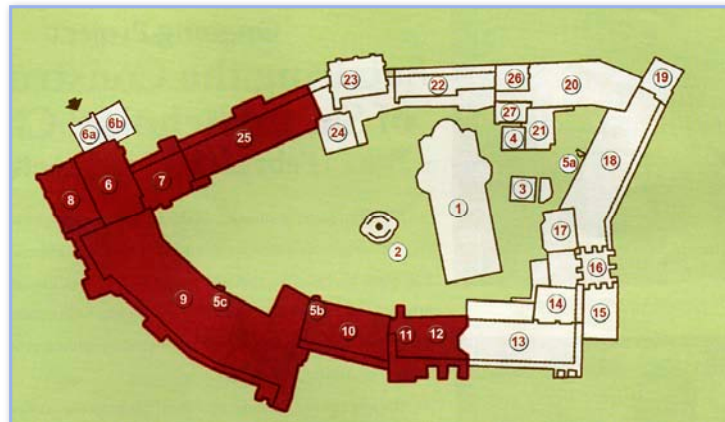
Ruredil X Mesh C10

Direzione Tecnica



Hilandar Monastery - XII secolo

Il complesso

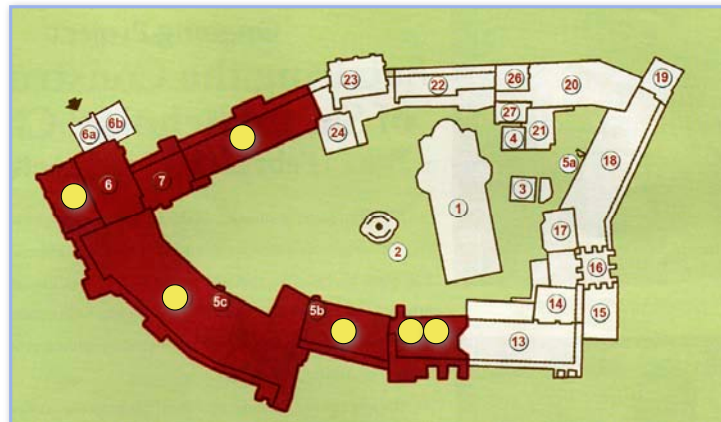


● Danneggiata dall'incendio

Ruredil X Mesh C10

Hilandar Monastery - XII secolo

Il complesso



● Ricostruzione e rinforzi strutturali in corso

Direzione Tecnica

Ruredil

Ruredil X Mesh C10

Direzione Tecnica



Hilandar Monastery - XXII secolo

La ricostruzione



Ruredil X Mesh C10

Direzione Tecnica



Hilandar Monastery - XII secolo

La ricostruzione



Ruredil X Mesh C10

Direzione Tecnica



Hilandar Monastery - XII secolo

La ricostruzione



Ruredil X Mesh C10

Direzione Tecnica



Hilandar Monastery - XXII secolo

La ricostruzione - Rinzaffatura



Ruredil X Mesh C10

Hilandar Monastery - XII secolo

Il rinforzo strutturale -Ruredil X Mesh M25

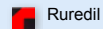


Direzione Tecnica

Ruredil

Ruredil X Mesh C10

Direzione Tecnica



Hilandar Monastery - XII secolo

Il rinforzo strutturale - *Ruredil X Mesh C10*



Ruredil X Mesh C10

Direzione Tecnica



Hilandar Monastery - XII secolo

Il rinforzo strutturale - *Finitura*



Prime verifiche dei rinforzi strutturali eseguiti con FRCM



FRCM

CAPORCIANO - Santa Maria di Centurelli

▼ Consolidamento delle volte

S. Maria dei Cinturelli

Ottobre 2003



S. Maria dei Cinturelli



S. Maria dei Cinturelli



S. Maria dei Cinturelli



Ruredil

Chemicals for building

S. Maria dei Cinturelli



CAPORCIANO - Santa Maria di Centurelli

Dopo il sisma del 6 Aprile 2009

S. Maria dei Cinturelli

S. Maria dei Cinturelli

2009



S. Maria dei Cinturelli



2009

2009

S. Maria dei Cinturelli



S. Maria dei Cinturelli



2009



FRCM

L'Aquila

L'Aquila - Basilica di San Bernardino

Consolidamento delle volte del refettorio (mq 350) - Nessuna lesione -

Basilica San Bernardino





Chieti

FRCM

CHIETI- Palazzo de Mayo

Chieti - Palazzo De Mayo

Consolidamento delle volte (mq 3000) - Nessuna lesione



CHIETI- Palazzo de Mayo

Palazzo De Mayo



Palazzo De Mayo



Palazzo De Mayo



Palazzo De Mayo





FRCM

Moscupo - Chiesa

Consolidamento delle volte (mq 250) - Nessuna lesione -

Chiesa di Moscufo





FRCM

Collecervino - *Convento*

Consolidamento delle volte (mq 600) - Nessuna lesione -

Convento di Collecovino





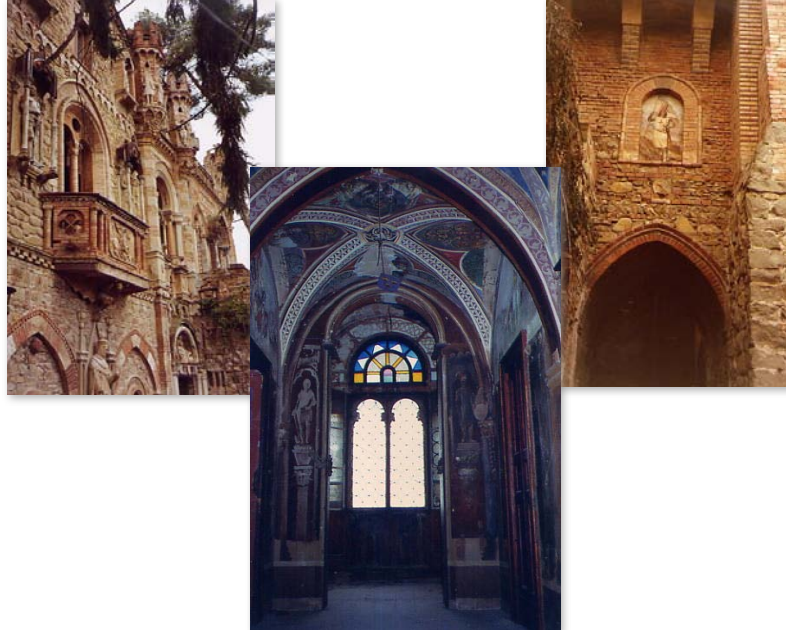
Teramo

FRCM

Teramo - *Castello della Monica*

Teramo - Castello della Monaca

Consolidamento delle volte (mq 600) - Nessuna lesione -





Montesilvano

Montesilvano -Ex Colonia Stella Maris

Montesilvano - Ex Colonia Stella Maris

Rinforzo Travi (mq 600) - Nessuna lesione -

